

ISSN 2307-5732

НАУКОВИЙ ЖУРНАЛ

3.2015

ВІСНИК

**Хмельницького
національного
університету**

Технічні науки
Technical sciences

SCIENTIFIC JOURNAL

HERALD OF KHMELNYTSKYI NATIONAL UNIVERSITY

2015, Issue 3, Volume 225

Хмельницький

ВІСНИК
ХМЕЛЬНИЦЬКОГО НАЦІОНАЛЬНОГО УНІВЕРСИТЕТУ
серія: Технічні науки

Затверджений як фахове видання
Наказ МОН 04.07.2014 №793

Засновано в липні 1997 р.

Виходить 6 разів на рік

Хмельницький, 2015, № 3 (225)

Засновник і видавець: Хмельницький національний університет
(до 2005 р. – Технологічний університет Поділля, м. Хмельницький)

Включено до наукометричних баз:

РИНЦ	http://elibrary.ru/title_about.asp?id=37650
Google Scholar	http://scholar.google.com.ua/citations?hl=uk&user=aIUP9OYAAAAJ
Index Copernicus	http://jml2012.indexcopernicus.com/passport.php?id=4538&id_lang=3
Polish Scholarly Bibliography	https://pbn.nauka.gov.pl/journals/46221

Головний редактор

Скиба М. Є., заслужений працівник народної освіти України, член-кореспондент Національної академії педагогічних наук України, д.т.н., професор, ректор Хмельницького національного університету

**Заступник головного
редактора**

Параска Г. Б., д.т.н., професор, проректор з наукової роботи Хмельницького національного університету

Відповідальний секретар

Гуляєва В. О., завідувач відділом інтелектуальної власності і трансферу технологій Хмельницького національного університету

Члени редколегії

Технічні науки

Березненко М.П., д.т.н., Бубулис Алгімантас, д.т.н. (Литва), Гордеев А.І., д.т.н., Грабко В.В., д.т.н., Диха О.В., д.т.н., Жултовський Б., д.т.н. (Польща), Зубков А.М., д.т.н., Камбург В.Г., д.т.н. (Росія), Каплун В.Г., д.т.н., Карван С.А., д.т.н., Карташов В.М., д.т.н., Кичак В.М., д.т.н., Кініцький Я.Т., д.т.н., Коновал В.П., д.т.н., Коробко Є.В., д.т.н. (Білорусія), Костогриз С.Г., д.т.н., Кофанов Ю.М., д.т.н. (Росія), Мазур М.П., д.т.н., Мандзюк І.А., д.т.н., Мельничук П.П., д.т.н., Мисіщев О.А., д.т.н., Натріашвілі Т.М., д.т.н. (Грузія), Нелін Є.А., д.т.н., Павлов С.В., д.т.н., Пастух І.М., д.т.н., Поморова О.В., д.т.н., Пановко Г.Я., д.т.н. (Росія), Попов В., доктор природничих наук (Німеччина), Прохорова І.А., д.т.н., Рогатинський Р.М., д.т.н., Ройзман В.П., д.т.н., Рудницький В.Б., д.фіз.-мат.н., Сарібеков Г.С., д.т.н., Сілін Р.І., д.т.н., Славінська А.Л., д.т.н., Сорокатій Р.В., д.т.н., Сурженко Є.Я., д.т.н. (Росія), Троцишин І.В., д.т.н., Шалапко Ю.І., д.т.н., Шинкарук О.М., д.т.н., Шклярський В.І., д.т.н., Щербань Ю.Ю., д.т.н., Юрков М.К., д.т.н. (Росія), Ясній П.В., д.т.н.

Технічний редактор

Горященко К. Л., к.т.н.

Редактор-коректор

Броженко В. О.

**Рекомендовано до друку рішенням вченої ради Хмельницького національного університету,
протокол № 11 від 27.05.2015 р.**

Адреса редакції: редакція журналу "Вісник Хмельницького національного університету"
Хмельницький національний університет
вул. Інститутська, 11, м. Хмельницький, Україна, 29016

С (038-22) 2-51-08 web: <http://journals.khnu.km.ua/vestnik>
e-mail: visnyk_khnu@rambler.ru <http://vestnik.ho.com.ua>
 http://lib.khnu.km.ua/visnyk_tup.htm

Зареєстровано Міністерством України у справах преси та інформації.
Свідоцтво про державну реєстрацію друкованого засобу масової інформації
Серія KB № 9722 від 29 березня 2005 року

© Хмельницький національний університет, 2015

© Редакція журналу "Вісник Хмельницького
національного університету", 2015

ЗМІСТ

МАШИНОЗНАВСТВО ТА ОБРОБКА МАТЕРІАЛІВ В МАШИНОБУДУВАННІ

В.В. КОВТУН, О.А. ДОРОФЄЄВ

ВИКОРИСТАННЯ АПАРАТУ ТЕОРІЇ ПЛАСТИЧНОСТІ ДЛЯ ОЦІНКИ НАПРУЖЕНО-ДЕФОРМОВАНОГО СТАНУ ДИСКРЕТНОГО СЕРЕДОВИЩА 6

О.І. НЕКОЗ, В.І. ОСИПЕНКО, Н.В. ФІЛІМОНОВА, О.В. БАТРАЧЕНКО

ГІДРАВЛІЧНИЙ ОПІР РІЗАЛЬНОГО ВУЗЛА ВОВЧКІВ 13

Я.Т. КІНИЦЬКИЙ, О.В. ГОЛОВКО, М.В. МАРЧЕНКО

ВИКОРИСТАННЯ ШАТУННИХ КРИВИХ ДЛЯ ПРОЕКТУВАННЯ ДВОКРИВОШИПНИХ ВАЖІЛЬНИХ МЕХАНІЗМІВ З РЕГУЛЬОВАНОЮ АМПЛІТУДОЮ КОЛІВАННЯ КУТОВОЇ ШВИДКОСТІ ВИХІДНОЇ ЛАНКИ 19

Г.М. СОКОЛОВА

ПРОГНОЗУВАННЯ ЗНОСОСТІЙКОСТІ АЗОТОВАНИХ СТАЛЕЙ МЕТОДАМИ ГЕОМЕТРІЇ БАГАТОВИМІРНОГО ПРОСТОРУ 22

Ю.Б. ЛИУШ

ОРГАНИЗАЦИЯ ПРОМЫШЛЕННОГО ЭКСПЕРИМЕНТА ПО ИЗУЧЕНИЮ ВЛИЯНИЯ КОНСТРУКТИВНЫХ ОСОБЕННОСТЕЙ НАГРЕВАТЕЛЬНОЙ ПЕЧИ НА РАСПРЕДЕЛЕНИЕ ТЕПЛОВОЙ ЭНЕРГИИ В КАМЕРЕ 27

В.Ю. ЩЕРБАНЬ, М.І. ШОЛУДЬКО, О.З. КОЛІСКО, В.Ю. КАЛАШНИК

ОПТИМІЗАЦІЯ ПРОЦЕСУ ВЗАЄМОДІЇ НІТКИ З НАПРЯМНИМИ З УРАХУВАННЯМ АНІЗОТРОПІЇ ФРИКЦІЙНИХ ВЛАСТИВОСТЕЙ 30

В.О. ХАРЖЕВСЬКИЙ

МЕТОДИКА ВИЗНАЧЕННЯ ОСОБЛИВИХ ТОЧОК ЧЕБИШЕВА ДЛЯ СИНТЕЗУ ВАЖІЛЬНИХ ПРЯМОЛІНІЙНО-НАПРЯМНИХ МЕХАНІЗМІВ 34

Г.С. РАТУШНЯК, І.А. КОЩЕЄВ

ВИЗНАЧЕННЯ ЕНЕРГЕТИЧНИХ СКЛАДОВИХ МОДЕЛІ ЕНЕРГОЕФЕКТИВНОГО БІОРЕАКТОРА З ВИКОРИСТАННЯМ СОНЯЧНОЇ ЕНЕРГІЇ 41

В.А. ТОЛБАТОВ, О.А. ДОБРОРОДНОВ, А.В. ТОЛБАТОВ, О.Б. В'ЮНЕНКО

ОСНОВНІ ПРИНЦИПИ ОРГАНІЗАЦІЇ ЗАХИСТУ ТЕХНОЛОГІЧНОГО ОБЛАДНАННЯ ВІД ВІДМОВ У СИСТЕМІ УПРАВЛІННЯ 46

Г.В. ЩУЦЬКА

ОСОБЛИВОСТІ ОРГАНІЗАЦІЇ ЕКСПЕРИМЕНТІВ З ЛИСТОВИМИ МАТЕРІАЛАМИ 51

П.А. БАРАБАШ, Я.Е. ТРОКОЗ, В.Я. ГОРІН, В.В. ГОРІН

МЕТОДИКА РАСЧЕТА И РЕЗУЛЬТАТЫ ИССЛЕДОВАНИЯ ТЕПЛООТДАЧИ ПОТОКА ПРИРОДНОГО ГАЗА В ТРУБАХ С ПРОДОЛЬНЫМ ОРЕБРЕНИЕМ 56

Е.А. МАНЗЮК, П.Г. КАПУСТЕНСЬКИЙ

ПІДВИЩЕННЯ ПРАЦЕЗДАТНОСТІ РОТАЦІЙНИХ ЧОВНИКОВИХ КОМПЛЕКТІВ НА БАЗІ КОНСТРУКЦІЙНИХ РІШЕНЬ 63

ТЕХНОЛОГІЇ ЛЕГКОЇ ПРОМИСЛОВОСТІ

І.С. ГАЛИК, Б.Д. СЕМАК

СУЧASNІ НАПРЯМКИ ФОРМУВАННЯ АСОРТИМЕНТУ НАНОТЕКСТИЛЮ 73

С.А. КАРВАН, А.Я. ГАНЗЮК

СУЧАСНИЙ СТАН ПРОБЛЕМІ АНТИСТАТИЧНОЇ ОБРОБКИ ТЕКСТИЛЬНИХ МАТЕРІАЛІВ 77

Л.Є. ГАЛАВСЬКА	
ДОСЛІДЖЕННЯ РОЗТЯЖНОСТІ ТА ЗАКРУЧУВАНОСТІ ПОДВІЙНОГО НЕПОВНОГО ТРИКОТАЖУ	80
Н.П. ЛЯЛІНА	
ПОРІВНЯЛЬНИЙ АНАЛІЗ ТЕХНОЛОГІЧНИХ ОСОБЛИВОСТЕЙ ОДНОДОМНИХ І ДВОДОМНИХ КОНОПЕЛЬ	86
О.З. МИКИТИН	
ОСОБЛИВОСТІ ОЦІНЮВАННЯ ВІДПОВІДНОСТІ БЕЗПЕЧНОСТІ М'ЯКОНАБІВНИХ ІГРАШКОВИХ ВИМОГАМ ТЕХНІЧНОГО РЕГЛАМЕНТУ	89
М.В. ПАСЕЧНИК	
ВЛИЯНИЕ СКОРОСТИ СДВИГА НА ВЯЗКОСТЬ ПОЛИМЕРНЫХ КОМПОЗИЦИЙ ПРИ ФОРМИРОВАНИИ ПОКРЫТИЙ НА ПОВЕРХНОСТИ ТЕКСТИЛЬНОГО МАТЕРИАЛА	96
О.В. СКІДАН, Т.А. НАДОПТА, І.М. ПАСТУХ	
ФОРМУВАННЯ МОДЕЛІ РОЗМІРНИХ ХАРАКТЕРИСТИК СТОП ДІТЕЙ-ШКОЛЯРІВ	101
О.А. ПАРАСКА, С.А. КАРВАН, Т.С. РАК	
ДОСЛІДЖЕННЯ ВЛАСТИВОСТЕЙ ЕКОЛОГІЧНО БЕЗПЕЧНИХ ПОВЕРХНЕВО-АКТИВНИХ РЕЧОВИН	107
М.О. КУЩЕВСЬКИЙ, Ю.В. КОШЕВКО	
КОМПЛЕКСНЕ ДОСЛІДЖЕННЯ ГІДРОВІДЦЕНТРОВОГО СПОСОBU ФОРМУВАННЯ ДЕТАЛЕЙ ГОЛОВНИХ УБОРІВ	112
РАДІОТЕХНІКА, ЕЛЕКТРОНІКА ТА ТЕЛЕКОМУНІКАЦІЇ	
Н.А. ФІЛИНЮК, Л.Б. ЛІЩИНСКАЯ, Е.В. ВОЙЦЕХОВСКАЯ, В.П. СТАХОВ	
МОНОІММІТАНСНІ ЛОГІЧЕСКІ RLC-ЕЛЕМЕНТИ	117
В.В. ПАЛАГІН	
МОДЕлювання процесів виявлення сигналів при адитивно-мультиплікативних асиметрично-експесивних негаусових завадах	123
А.В. КРАСІЙ	
НЕЙРОМЕРЕЖНИЙ МЕТОД ПРОГНОЗУВАННЯ ХАРАКТЕРИСТИК ТА ОЦІНЮВАННЯ УСПІШНОСТІ РЕАЛІЗАЦІЇ ПРОГРАМНОГО ПРОЕКТУ	132
С.І. МЕЛЬНИЧУК, М.В. КОРОПЕЦЬКА, І.З. МАНУЛЯК	
ОПТИМІЗАЦІЯ АЛГОРІТМУ ОБЧИСЛЕННЯ ОЦІНОК ІНФОРМАЦІЙНОЇ ЕНТРОПІЇ ВИПАДКОВИХ СИГНАЛІВ ДЛЯ ЦИФРОВИХ ЗАСОБІВ ОБМІНУ ДАНИМИ	141
К.С. ДЄЄВ, Ю.В. БОЙКО	
АНАЛІЗ МЕТРИК ЯКОСТІ ОБСЛУГОВУВАННЯ В КОМП'ЮТЕРНИХ МЕРЕЖАХ В ЗАЛЕЖНОСТІ ВІД ХАРАКТЕРИСТИК ІР ВЗАЄМОДІЇ	149
С.М. БАБІЙ, О.Л. ТИМОШЕНКО	
ПРИСТРІЙ ДЛЯ ДІАГНОСТУВАННЯ АВТОМАТИЧНИХ АНАЛОГОВИХ КЕРУЮЧИХ ПРИСТРОЇВ ЕЛЕКТРОПРИВОДА НА БАЗІ КОНТРОЛЕРА LOGO	155
Л.О. ДУБЧАК	
ЗАСІБ РОЗПОДІЛУ ДОСТУПУ ДО ІНФОРМАЦІЙНИХ РЕСурсІВ КОМП'ЮТЕРНОЇ СИСТЕМИ	160
Н.М. ВАСИЛЬКІВ	
НЕЙРОННІ МЕРЕЖІ як ЗАСІБ ФУНКЦІОНАЛЬНОГО ПЕРЕТВОРЕННЯ ПРИ ОБРОБЛЕННІ СИГНАЛІВ ТЕРМОЕЛЕКТРИЧНИХ ПЕРЕТВОРЮВАЧІВ	165
Ю.М. ТЕСЛЯ, Є.Є. ШАБАЛА	
ОСОБЛИВОСТІ ОБРОБКИ ПРИРОДОМОВНОГО ТЕКСТУ БУДІВЕЛЬНОЇ ТЕМАТИКИ	172

Я.В. КОРПАНЬ

АНАЛІЗ МЕТОДІВ ТА АЛГОРИТМІВ КОМПРЕСІЇ-ДЕКОМПРЕСІЇ ЦИФРОВИХ ВІДЕОДАНИХ 175

Й.Й. БІЛИНСЬКИЙ, Б.П. КНИШ, М.О. СТАСЮКМАТЕМАТИЧНА МОДЕЛЬ ЗАСОБУ ВИМІРЮВАЛЬНОГО КОНТРОЛЮ КІЛЬКІСНОГО ВМІСТУ
СКРАПЛЕНОГО НАФТОВОГО ГАЗУ 180**О.Є. РУБАНЕНКО, В.А. МАТВІЙЧУК, О.О. РУБАНЕНКО**ВИЗНАЧЕННЯ ЯКОСТІ ФУНКЦІОNUВАННЯ ДІЛЯНКИ ІЗ ЗНИЖЕНИМ ОПОРОМ
ІЗОЛЯЦІЇ МЕРЕЖІ ОПЕРАТИВНОГО ПОСТИЙНОГО СТРУМУ ЗА ДОПОМОГОЮ
НЕЙРО-НЕЧІТКОГО МОДЕлювання 187**О.Є. РУБАНЕНКО, Ю.Г. ВЕДМІЦЬКИЙ, С.В. МИСЕНКО**

ДОСЛІДЖЕННЯ ПОКАЗНИКІВ НАДІЙНОСТІ ЕЛЕГАЗОВИХ ВИМИКАЧІВ 195

В.Г. ПЕТРУК, О.Є. КВАТЕРНЮК, Ю.С. ЛЮБЧАК, С.М. КВАТЕРНЮКРОЗВИТОК МЕТОДУ ЦИФРОВОЇ КОЛОРИМЕТРІЇ БІОТКАНИ ТА
АЛГОРИТМ ОПРАЦЮВАННЯ РЕЗУЛЬТАТІВ 198**Т.Б. МАРТИНЮК, А.В. КОЖЕМ'ЯКО, Л.М. КУПЕРШТЕЙН**

ВЛАСТИВОСТІ МАТРИЦІ ЕЛЕМЕНТІВ ДИСКРИМІНАНТНИХ ФУНКЦІЙ 202

Д.А. МАКАРИШКІН, І.О. ПЕШКОВА, О. С. ШИМКОВ, Р.П. ГЛАДСЬКИЙ

МАТЕМАТИЧНА МОДЕЛЬ ДВОТАКТНОГО ТВЕРДОТІЛОГО МОДУЛЯТОРА 205

В.В. ІВАНОВА, А.О. КИЯНИЦЯ , С.В. КОЛОБРОДОВДАЛЬНІСТЬ РОЗПІЗНАВАННЯ ОБ'ЄКТІВ ТЕПЛОВІЗОРОМ НА
ПІРОЕЛЕКТРИЧНІЙ МАТРИЦІ 214**В.І. ЛУЖАНСЬКИЙ, Л.В. КАРПОВА, С.О. СТЕПАНОВ**ДОСЛІДЖЕННЯ ВПЛИВУ ДИСПЕРСІЇ ТА НЕЛІНІЙНИХ ЕФЕКТІВ НА
ПРОПУСКНУ ЗДАТНІСТЬ ВОЛOKОННО-ОПТИЧНИХ СИСТЕМ 218**В.Д. КОСЕНКОВ, Д.А. ИВЛЕВ, А.В. ЯКОВЛЕВ**ОГРАНИЧЕНИЕ РЕАКЦИИ ЯКОРЯ В МАШИНАХ ПОСТОЯННОГО ТОКА
ИНДУКТОРНОГО ТИПА 224**А.О. ІГНАТОВИЧ**

КРИТЕРІЙ ЕФЕКТИВНОСТІ ДЛЯ ВИЗНАЧЕННЯ СТІЙКОСТІ БЛОКОВИХ ШИФРІВ 228

В.Р. ЛЮБЧИК, В.І. СТЕЦЮК, І.В. ФАЙФУРА

АНАЛІЗ І ВДОСКОНАЛЕННЯ МЕТОДІВ СИНХРОНІЗАЦІЇ ТЕЛЕКОМУНІКАЦІЙНИХ СИСТЕМ 232

В.П. ХОРОЛЬСКИЙ, М.І. ШПАНЬКОПРИНЦИПИ ПОБУДОВИ САМООРГАНІЗУЮЧИХ СИСТЕМ УПРАВЛІННЯ
ЕЛЕКТРОСПОЖИВАННЯМ ГОЛОВНИХ ВОДОВІДливНИХ УСТАНОВОК ШАХТ 238**V.V. ROMANUKE**

MATLAB GPUARRAY METHOD OPTIMAL USE FOR SQUARE MATRIX PRODUCT 243

УДК 621.396.6

Н.А. ФИЛИНЮК, Л.Б. ЛИЩИНСКАЯ, Е.В. ВОЙЦЕХОВСКАЯ, В.П. СТАХОВ
Винницкий национальный технический университет**МОНОИММИТАНСНЫЕ ЛОГИЧЕСКИЕ RLC-ЭЛЕМЕНТЫ**

Обоснованы принципы построения моноиммитансых логических RLC-элементов. Разработаны электрические принципиальные схемы и дана аналитическая оценка быстродействия и потребляемой мощности моноиммитансных логических R-элементов «НЕ», «ИЛИ», «И».

Ключевые слова: логический элемент, иммитанс, иммитансный логический уровень.

N. A. FILINYUK, L.B. LISHCHINSKAYA, O.V. VOYCEKHOVSKA, V. P. STAKHOV
Vinnytsia National Technical University

MONOIMMITTANCE LOGIC R-ELEMENTS

Abstract - The aim of the work is development and researching of monoimmittance logical RLC-elements.

The possibility of processing of the information on carrier frequency of a signal, without its transformation to video pulse signals can be solved with using of immittance logic elements. As information parameter in immittance logic elements uses combinations of resistive, inductive and capacitor immittance. Such logic elements are immittance elements. Absence of researches for their realization and estimation of parameters defines relevance of the presented work.

The general principles of monoimmittance logic elements and the design of schemes monoimmittance logic elements using the resistance to implement logic functions "NOT", "AND" and "OR" are presented in the given article.

Keywords: logic gate, immittance, immittance logic level.

Введение

Современная вычислительная техника использует для передачи и обработки информации видеоимпульсные сигналы [1]. Одновременно, но в значительно меньшей степени, для передачи и обработки информации находят применение оптические [2], акустические [3], гидравлические [4], радиочастотные [5] и другие сигналы. В этих специфических случаях выбор вида сигнала определяется или физической природой обрабатываемого параметра, или улучшением каких либо параметров информационной системы. Например, улучшение помехозащищенности или повышение быстродействия за счет использования оптических сигналов [2]. Проигрывая по большинству показателей системам, использующим видеоимпульсные сигналы, тем не менее такие специфические логические элементы находят применение в специализированных системах, не требующих обработки больших объемов информации и решающих, например, задачи обработки информации на несущей частоте сигнала, без преобразования ее в видеоимпульсные сигналы. Такие задачи могут быть решены с использованием радиочастотных иммитансных логических элементов [6]. В качестве информационного параметра в иммитансных логических элементах используются комбинации резистивного, индуктивного и ёмкостного иммитансов и их можно рассматривать, как мультииммитансные логические элементы. Для практического использования более предпочтительны логические элементы, использующие один информационный параметр, например, только активное сопротивление – (R-элемент), ёмкостной иммитанс – X_C (C-элемент) или индуктивный иммитанс – X_L (L-элемент). Назовём такие логические элементы моноиммитансными элементами. Отсутствие исследований по их реализации и оценке параметров определяет актуальность представленной работы.

Целью работы является разработка и исследование моноиммитансных логических RLC-элементов.

Задачи исследований:

1. Обоснование принципов построения моноиммитансных логических элементов;
2. Разработка схем моноиммитансных логических элементов;
3. Оценка основных параметров.

Обоснование принципов построения моноиммитансных логических элементов

Логический уровень видеоимпульсного логического элемента определяется диапазоном значений напряжений или токов. Кроме напряжения и тока, состояние электрической цепи на переменном токе можно охарактеризовать дифференциальным активным R , ёмкостным X_C и индуктивным X_L сопротивлениями. Следовательно, логические состояния схемы можно характеризовать диапазоном значений этих параметров. Например, логической единице – «1» соответствует диапазон изменения $R^{(1)} > R_0$, а логическому нулю – «0», соответствует диапазон изменения $R^{(0)} < R_0$ (моноиммитансный логический R-элемент), где R_0 – резистивная граница логического уровня. Аналогично: для ёмкостного сопротивления: «1» $\equiv X_C^{(1)} > X_{C0}$;

$\ll 0 \gg \equiv X_C^{(0)} < X_{C0}$ (моноиммитансный логический С-элемент); для индуктивного сопротивления: $\ll 1 \gg \equiv X_L^{(1)} > X_{L0}$; $\ll 0 \gg \equiv X_L^{(0)} < X_{L0}$ (моноиммитансный логический L-элемент).

С учетом данных определений, таблицы истинности моноиммитансных логических элементов, реализующих основные логические функции, можно представить в виде таблиц истинности (рис. 1, 2 и 3):

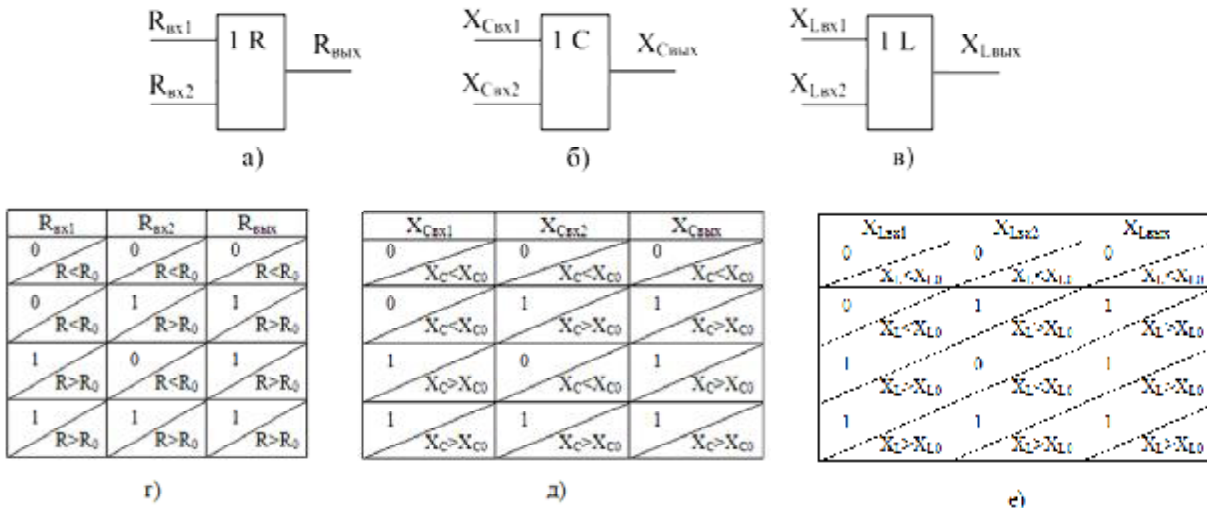


Рис. 1. Обозначение (а,б,в) и соответствующие таблицы истинности (г,д,е) моноиммитансных логических элементов "ИЛИ"

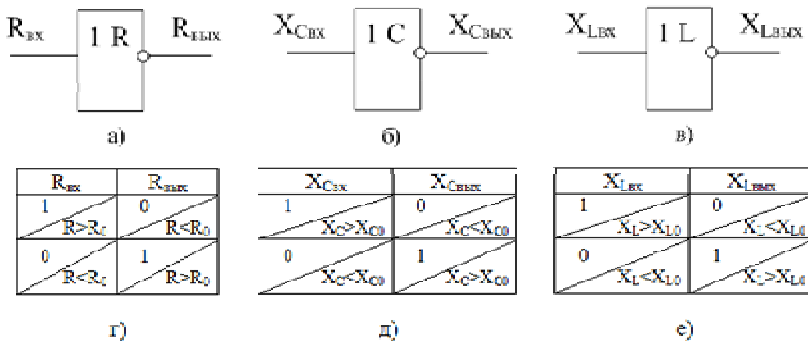


Рис. 2. Обозначение (а,б,в) и соответствующие таблицы истинности (г,д,е) моноиммитансных логических элементов "НЕ"

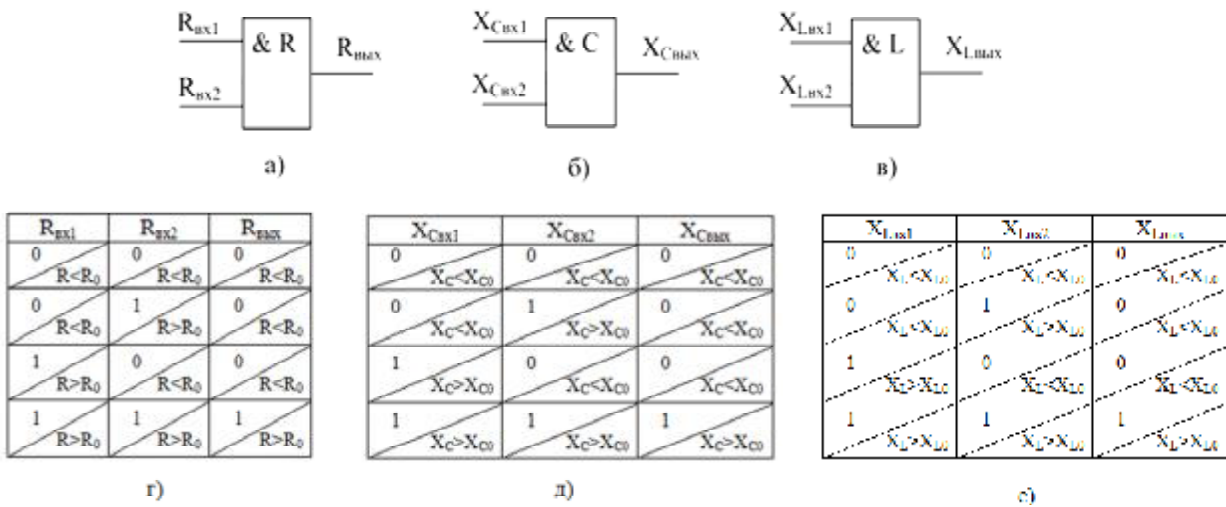


Рис. 3. Обозначение (а,б,в) и соответствующие таблицы истинности (г,д,е) моноиммитансных логических элементов "И"

Как и с видеоимпульсными логическими элементами, также возможно построение моноиммитансных логических R , L , C -элементов, реализующих «отрицательную логику»: $\ll 1 \gg \equiv R^{(1)} < R_0$, $\ll 0 \gg \equiv R^{(0)} > R_0$, $\ll 1 \gg \equiv X_C^{(1)} < X_{C0}$, $\ll 0 \gg \equiv X_C^{(0)} > X_{C0}$, $\ll 1 \gg \equiv X_L^{(1)} < X_{L0}$, $\ll 0 \gg \equiv X_L^{(0)} > X_{L0}$.

Учитывая ограниченный объём статьи, на данном этапе ограничимся разработкой и исследованием только моноиммитансных R-элементов.

Разработка схем моноиммитансных логических R-элементов

В качестве простейшего моноиммитансного логического R-элемента «НЕ» возможно использование свойства четвертьволнового отрезка линии передачи, реализующего «четвертьвольновый трансформатор» (рис. 4) [7].

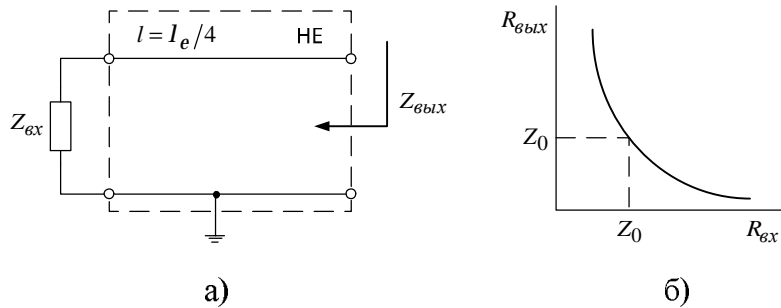


Рис. 4. "Четвертьволновый трансформатор" (а), реализующий моноиммитанский логический R-элемент "НЕ", и его передаточная характеристика (б)

Выходное сопротивление такого отрезка линии передачи зависит от сопротивления $Z_{вх}$, подключаемого на его входе:

$$Z_{вых} = Z_0^2 / Z_{вх}, \quad (1)$$

где Z_0 – волновое сопротивление линии передачи.

Если $Z_{вх} = R_{ex}$, тогда $Z_{вых} = R_{вых} = Z_0^2 / R_{ex}$. Считая, что Z_0 имеет действительное фиксированное значение, передаточная характеристика такого элемента имеет вид, представлений на рис. 4б. Из графика видно, что при $R_{ex} > Z_0$, $R_{вых} < Z_0$ и наоборот, что соответствует выше сформулированным условиям построения моноиммитансного логического R-элемента «НЕ».

Одним из возможных вариантов реализации моноиммитансного логического R-элемента «И» является схема, представленная на рис. 5.

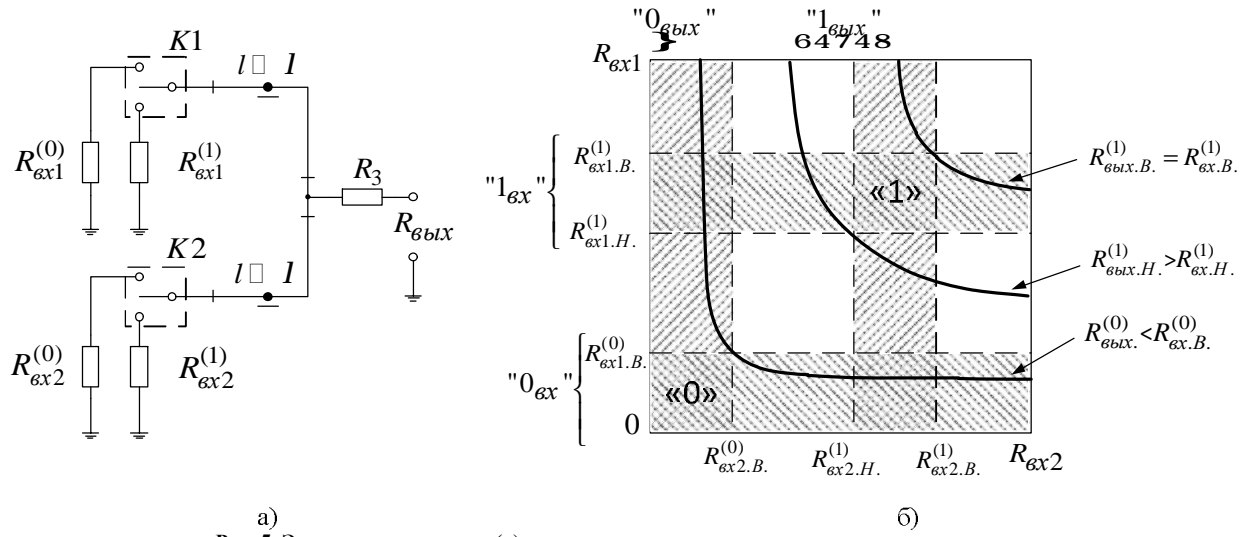


Рис. 5. Электрическая схема (а) и передаточная характеристика моноиммитанского логического R-элемента "И" (б) (на схеме K1 и K2 - условные коммутаторы)

Выходное активное сопротивление схемы при условии, что длина всех соединительных отрезков линии передачи $l \ll I$, где I – длина электромагнитной волны в линии передачи, равно

$$R_{вых} = R_3 + \frac{R_{ex1} R_{ex2}}{R_{ex1} + R_{ex2}}. \quad (2)$$

Уравнение (2) описывает иммитансную передаточную характеристику схемы, представляющую в координатах R_{ex1} и R_{ex2} семейство равнобочных гипербол, положение которых может регулироваться величиной резистора R_3 .

Ограничим нулевой логический уровень диапазоном изменения входного сопротивления $\left(0 \div R_{ex}^{(0)}\right)$, а единичный уровень – диапазоном $\left(R_{ex.H}^{(1)} \div R_{ex.B}^{(1)}\right)$. Для обеспечения запаса схемы по помехоустойчивости, задаемся верхней границей нулевого логического уровня на выходе схемы из условия $R_{вых.B}^{(0)} < R_{ex.B}^{(0)}$. При этом нижняя граница этого уровня $R_{вых.H}^{(0)} = 0$. Исходя из требований помехоустойчивости границы единичного логического уровня на выходе схемы определяем из условий: $R_{вых.H}^{(1)} > R_{ex.H}^{(1)}$, $R_{вых.B}^{(1)} > R_{ex.B}^{(1)}$. С учётом введённых ограничений, области работы моноиммитансного логического R-элемента «И» определяются заштрихованными квадратами «0» и «1» на рис.5б, соответствующих таблице истинности, представленной на рис.3г.

Электрическая схема возможного варианта реализации моноиммитансного R-логического элемента «ИЛИ» представлена на рис.6а.

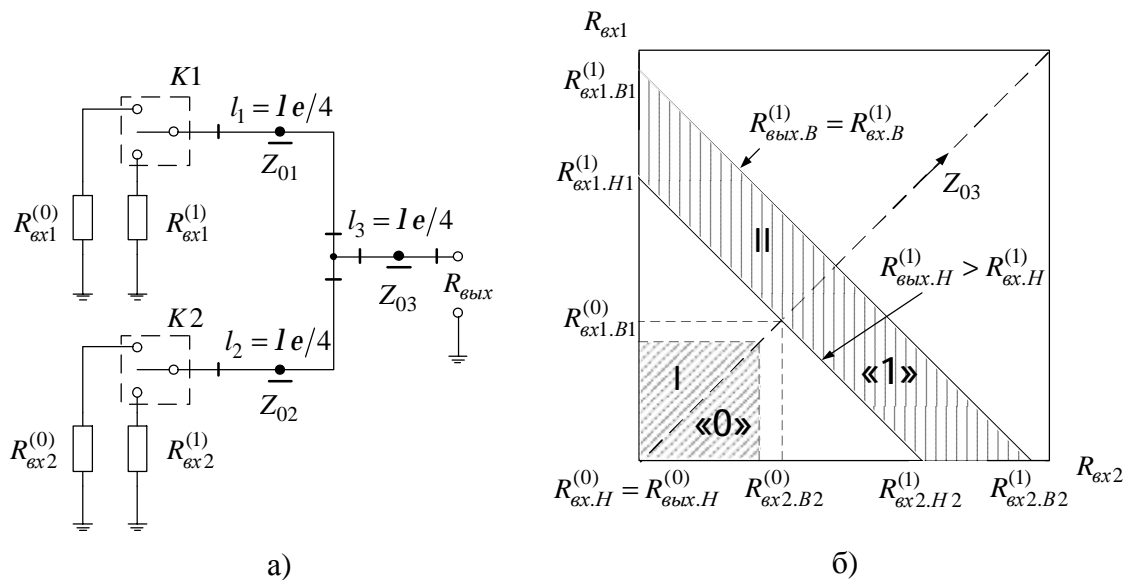


Рис. 6 - Электрическая схема (а) и иммитансная передаточная характеристика моноиммитансного R-логического элемента «ИЛИ» (б) (на схеме К1 и К2 - условные коммутаторы)

Рассчитаем иммитансную передаточную характеристику этого элемента. Учитывая трансформирующие свойства четвертьвольновых отрезков линии передачи $l_1 - l_3$, имеющих соответственно волновые сопротивления $Z_{01} - Z_{03}$, находим

$$R_{вых} = \frac{Z_{03}^2 (Z_{01}^2 R_{ex2} + Z_{02}^2 R_{ex1})}{Z_{01}^2 Z_{02}^2}, \quad (3)$$

где Z_{01}, Z_{02}, Z_{03} – волновые сопротивления отрезков линии передачи l_1, l_2, l_3 соответственно.

Считая, что входные каналы логического элемента идентичны, т.е. $Z_{01} = Z_{02}$, из (3) находим

$$R_{вых} = \frac{Z_{03}^2 (R_{ex1} + R_{ex2})}{Z_{01}^2}. \quad (4)$$

Из (4) следует, что иммитансная передаточная характеристика логического элемента на плоскости в координатах R_{ex1} и R_{ex2} представляет прямую линию (рис.6б) положение которой может регулироваться путём задания значений волновых сопротивлений Z_{01} и Z_{03} отрезков линии передачи.

Определим возможный диапазон изменения входных иммитансов, соответствующих логическим «нулю» и «единице». Как следует из рис.6б, если при $R_{ex1} = 0$, $R_{вых} = R_{ex2}$, тогда области, где обеспечивается выполнение условий таблицы истинности, будут соответственно для логического нуля на выходе – область «I», а для логической единицы – область «II». Для обеспечения запаса схемы по помехоустойчивости, необходимо ограничить диапазон изменения входных активных иммитансов условиями: $R_{вых.H}^{(1)} > R_{ex.H}^{(1)}$, $R_{вых.B}^{(1)} = R_{ex.B}^{(1)}$, $R_{вых.B}^{(0)} > R_{ex.B}^{(0)}$, $R_{вых.H}^{(0)} = R_{ex.H}^{(0)}$. Одним из возможных вариантов выполнения этих условий является выбор значений волновых сопротивлений Z_{01} и Z_{02} .

Оценка основных параметров

Важнейшими параметрами любого логического элемента являются его быстродействие и потребляемая мощность.

Быстродействие любого иммитансного логического элемента определяется задержкой установления иммитанса выхода логического элемента при изменении значения иммитанса цепи, подключенной к его входу. Для моноимпульсного иммитансного логического R-элемента «НЕ» эта задержка определяется временем прохождения электромагнитной волны от входа до выхода элемента и зависит от длины отрезка линии передачи l и скорости V электромагнитной волны в линии передачи.

$$t = l/V = \frac{l\sqrt{Em}}{c}, \quad (5)$$

где $V = c/\sqrt{Em}$ - скорость электромагнитной волны в линии передачи, c – скорость света в свободном пространстве, E и m - соответственно относительные диэлектрическая и магнитная проницаемость диэлектрического материала, заполняющего линию передач между проводниками.

Для схемы моноиммитансного логического R-элемента «НЕ», представленного на рис.4, и реализуемого на основе микрополосковой линии с диэлектрическим заполнением, при $l = 1/4$, $m = 1$ имеем:

$$t(HE) = \sqrt{E}/4f. \quad (6)$$

Например, при использовании в качестве диэлектрической подложки керамики с $E = 9$, на частоте 10 ГГц, имеем потенциальное значение времени задержки $t_1(HE) = 75$ нСек. При использовании воздушного диэлектрика имеем: $E = 1$, $t_2(HE) = 25$ нСек. Увеличение несущей частоты до 100 ГГц ведет к росту быстродействия моноиммитансного логического элемента, соответственно до $t'_1(HE) = 7,5$ нСек и $t'_2(HE) = 2,5$ нСек. Еще большее быстродействие можно достичь у моноиммитансного логического элемента «И», у которого длина отрезков линии передачи $l_1 \ll l$, $l_2 \ll l$. Потенциальное быстродействие моноиммитансного логического элемента «ИЛИ» (рис.6а), у которого длина отрезка линии передачи между входом и выходом равна $l = l_1 + l_2$, когда $l_1 = l_2$, составляет $t(ИЛИ) = \sqrt{E}/2f$, т.е. наблюдается двукратная задержка сигнала по сравнению с моноиммитансным логическим элементом «НЕ».

Вторым важнейшим параметром моноиммитансного логического элемента является величина потребляемой мощности. Учитывая, что рассматриваемые моноиммитансные логические элементы работают без использования постоянного источника питания ($P_0 = 0$), основные затраты энергии связаны с энергетическими потерями в отрезках линии передачи P_l или рассеянием сигнала P_R на омическом сопротивлении R_{ex} цепи, подключаемой ко входу моноиммитансного логического элемента. Вследствие малой длины используемых отрезков линии передачи и низком значении $tg d \leq 10^{-4}$ используемого диэлектрика подложки, потерями P_l в линии передачи можно пренебречь.

Мощность P_R сигнала рассеиваемая на сопротивлении R_{ex} зависит от мощности сигнала P_\sim несущей частоты. Её минимальное значение $P_{\sim min}$ должно быть больше мощности шумов, создаваемых омическим сопротивлением R_{ex} [8]:

$$P_{\sim} = 4kT\Delta f, \quad (7)$$

где k – постоянная Больцмана, Δf - полоса рабочих частот, T – абсолютная температура.

Минимальная полоса рабочих частот определяется стабильностью частоты опорного генератора. Например, при относительной стабильности частоты генератора $\square f/f = 10^{-6}$ и несущей частоте 1ГГц, рабочая полоса частот логического элемента равна 1кГц. В этом случае $P_{\sim} = 4 \cdot 290 \cdot 1,38 \cdot 10^{-23} \cdot 10^3 = 1,6 \cdot 10^{-17}$ Вт. Откуда $P_{ex} > 1,6 \cdot 10^{-17}$ Вт. С учетом необходимости обеспечения коэффициента разветвления по выходу $K_{раз}$ мощность сигнала, потребляемая моноиммитансным логическим элементом, будет равна $P_{\sim min} = 4kT\square f K_{раз}$.

Выводы

1. Обоснованы принципы построения моноиммитансных логических элементов, использующих в качестве информационного параметра значение иммитанса одного характера: или активное, или емкостное, или индуктивное сопротивление, что обеспечивает по сравнению с мультииммитансными RLC-логическими элементами более высокие энергетические характеристики, так как они могут работать без внешнего источника постоянного тока.

2. Проведена численная оценка быстродействия и потребляемой мощности пасивных моноиммитансных логических R-элементов, которая показала, что время переключения таких элементов определяется скоростью распространения электромагнитной волны в линии передачи, частотой и

геометрической длиной линий передачи. Потенциальная оценка задержки сигнала в моноиммитансном логическом R-элементе на частоте 10 ГГц равна 75 пСек и уменьшается с ростом частоты. Энергетические потери в рассмотренных элементах в основном определяются диссипативными потерями на активных сопротивлениях электрических цепей, подключаемых к входам моноиммитансных логических элементов. При использовании опорного генератора с относительной стабильностью частоты 10^{-6} на несущей частоте 1 ГГц величина потребляемой мощности моноиммитансного логического элемента $P_{\sim} > 1,6 \cdot 10^{-17}$ и растет пропорционально коэффициенту разветвления по выходу.

Литература

1. Бабич Н.П. Компьютерная схемотехника. Методы построения и проектирования: Учебное пособие. / И.А. Жуков, Н.П. Бабич – К., «МК-Пресс», 2004. – 576с., илл. - ISBN 966-96415-2-7.
2. Торчигин В.П. Оптические логические элементы на основе нелинейных интерференционных фильтров / В.П. Торчигин - Кvant. elektron., т. 19, № 6, 1992. - с. 525 - 624.
3. Pierre A. Deymier Acoustic Metamaterials and Phononic Crystals / A. Pierre - Springer Science & Business Media, 2013. - 392p.
4. Кичак В.М. Радіочастотні та широтно-імпульсні елементи цифрової техніки: Монографія. / В.М. Кичак, О.О. Семенова – Вінниця: УНІВЕРСУМ-Вінниця, 2008. – 163с. - ISBN 978-966-641-259-4.
5. Ліщинська Л.Б. Імітансна логіка. / Л.Б. Ліщинська, М.А. Філінюк. – Міжн. науково-технічний журнал “Інформаційні технології та комп’ютерна інженерія”, №2(18), 2010. – с. 25-31.
6. Лепешкин А.В. Гидравлика и гидропневмопривод. В 2-х частях. Ч. 2: Гидравлические машины и гидропневмопривод: Учебник / А.В. Лепешкин, А. А. Михайлин, А. А. Шейпак. — 4-е изд., доп. и перераб. – М.: МГИУ, 2009. — 352 с. — ISBN 978-5-276-01019-9.
7. Лебедев И.В. Техника и приборы СВЧ. - М.:Высшая Школа,т.1,1970 - 439с.
8. Борисов В.И. Помехозащищенность систем радиосвязи: основы теории и принципы реализации. - М.: Наука, 2009. - 358 с. - ISBN 978-5-02-036943-6.

References

1. Babich N.P. Komp'yuternaya shemotekhnika. Metody postroeniya i proektirovaniya: Uchebnoe posobie. / I.A. Zhukov, N.P. Babich – K., «MK-Press», 2004. – 576s, ill. - ISBN 966-96415-2-7.
2. Torchigin V.P. Opticheskie logicheskie elementy na osnove nelineynykh interferencionnykh fil'trov - Kvant. elektron., t. 19, № 6, 1992, c. 525 - 624.
3. Pierre A. Deymier Acoustic Metamaterials and Phononic Crystals / A. Pierre - Springer Science & Business Media, 2013. - 392p.
4. Kichak V.M. Radiochastotni ta shirotno-impul'sni elementi cifrovoi tekhniki: Monografiya. / V.M. Kichak, O.O. Semenova – UNIVERSUM-Vinnycya, 2008. – 163s. - ISBN 978-966-641-259-4.
5. Lischins'ka L.B. Imitansna logika. / L.B. Lischins'ka, M.A. Filinyuk. – Mizhn. naukovo-tehnichniy zhurnal “Informaciyni tehnologii ta komp'yuterna inzheneriya”, №2(18), 2010. – s. 25-31.
6. Lepeshkin A.V. Gidravlika i gidropnevmpoprivod. V 2-h chastyah. Ch. 2: Gidravlicheskie mashiny i gidropnevmpoprivod: Uchebnik / A.V. Lepeshkin, A. A. Mihaylin, A. A. Sheypak. — 4-e izd., dop. i pererab. – M.: MGIU, 2009. — 352 s. — ISBN 978-5-276-01019-9.
7. Lebedev I.V. Tehnika i pribory SVCh. - M.:Vysshaya Shkola,t.1,1970 - 439s.
8. Borisov V.I. Pomehozaschishchenost' sistem radiosvyazi: osnovy teorii i principy realizacii. - M.: Nauka, 2009. - 358 s. - ISBN 978-5-02-036943-6.

Рецензія/Peer review : 14.4.2015 р. Надрукована/Printed : 13.5.2015 р.

Рецензент: д.т.н., проф. Перевозніков С.І.

За зміст повідомень редакція відповідальності не несе

Повні вимоги до оформлення рукопису

<http://vestnik.ho.com.ua/rules/>

**Рекомендовано до друку рішенням вченої ради Хмельницького національного університету,
протокол № 11 від 27.05.2015 р.**

Підп. до друку 24.06.2015 р. Ум.друк.арк. 27,61 Обл.-вид.арк. 26,27
Формат 30x42/4, папір офсетний. Друк різографією.
Наклад 100, зам. № _____

Тиражування здійснено з оригінал-макету, виготовленого
редакцією журналу “Вісник Хмельницького національного університету”
редакційно-видавничим центром Хмельницького національного університету
29016, м. Хмельницький, вул. Інститутська, 7/1. тел (0382) 72-83-63